

高位髌骨的磁共振成像表现

许若峰, 丁长青, 王文生, 史志卫

江苏省丰县人民医院影像科, 江苏 徐州 221700

摘要: **目的** 探讨高位髌骨的磁共振成像(MRI)表现特征,为临床早期诊断提供依据。**方法** 回顾性分析 2014 年 9 月至 12 月以膝前痛就诊的 50 例高位髌骨的临床及影像学资料。MRI 检查 Insall-Salvat(IS)指数 > 1.2 即诊断高位髌骨。**结果** 50 例患者 IS 指数 $1.32 \sim 1.76$, 平均 (1.43 ± 0.3) 。MRI 均伴髌软骨信号异常,其中仅信号异常的 I 期 4 例(8.0%),伴软骨毛糙、肿胀、不规则及局部变薄、深层断裂的 II、III 期 31 例(62.0%),同时伴软骨剥脱及软骨下骨质水肿的 IV 期 15 例(30.0%)。MRI 还较好显示了伴发的其他膝关节病变。**结论** 通过 MRI 检查,使用 IS 指数能准确诊断高位髌骨及其伴发的软骨损伤。

关键词: 膝关节; 膝前痛; 高位髌骨; 磁共振成像; Insall-Salvat 指数

中图分类号: R 681.8 **文献标识码:** B **文章编号:** 1674-8182(2015)08-1079-02

高位髌骨(patella alta),亦称“高骑跨”髌骨,是膝关节不稳最为重要的原因之一,也是膝前痛的常见原因,与髌骨软化、髌股关节炎、髌韧带钙化以及 Osgood-Schlatter 病等密切相关^[1-2]。X 线平片和 CT 成像较早用于评价髌骨失稳。近年来,磁共振成像(MRI)在膝关节病变诊断中的优势越来越突出,尤其对膝痛的病理影像学特征的评价较为准确,显著优于其他影像学方法。MRI 对于髌骨高度测量指标如 Insall-Salvati(IS)指数及 Caton-Deschamps 比率的判断也较为准确可靠^[3]。本文收集 2014 年 9 月至 12 月 50 例高位髌骨患者的临床及影像学资料,旨在探讨高位髌骨的 MRI 表现特征。

1 资料与方法

1.1 一般资料 50 例高位髌骨患者,男 21 例,女 29 例;年龄 $14 \sim 62$ 岁,平均 (45.8 ± 2.7) 岁。均以膝前痛为主要症状行 MRI 检查。病程 $1 \text{ d} \sim 25$ 年,平均 (6.0 ± 1.3) 年。

1.2 MRI 检查及评价方法 患者仰卧、膝关节伸直位。均扫描单膝关节。扫描方位及序列以矢状位 SET₁WI、FSET₂WI 为主,辅以轴位、冠状位及加扫压脂及质子序列。36 例使用沈阳中基 AG3500 型 0.35T 低场 MRI 机,正交膝线圈,主要参数^[4]: T₁WI

(TR/TE 为 $400 \sim 450/15 \sim 17$), T₂WI (TR/TE 为 $3\ 000 \sim 3\ 600/120 \sim 145$),激励次数 1 次,轴位层厚 $5 \sim 7$ mm,冠状位 $3 \sim 5$ mm,扫描野: $280 \text{ mm} \times 200 \text{ mm} \times 200 \text{ mm}$,层间距 $0.5 \sim 1$ mm,矩阵 256×256 。14 例使用 Philips Achieva 1.5T MRI 机,SENSE 8 单元相控阵膝关节表面线圈,主要参数: T₁WI (TR 500 ms/TE 17 ms), T₂WI (TR 3500ms/TE 100 ms); PDSPAIR (TR 3 000 ms/TE 30 ms); 层厚/层间距: $4.0 \text{ mm}/0.3 \text{ mm}$; FOV: $160 \text{ mm} \times 160 \text{ mm} \times 79 \text{ mm}$; 矩阵 256×256 。由两位高年资诊断医师共同阅片,协商一致。测量 IS 指数: 髌腱长度/髌骨关节软骨面的长度,正常值 $0.8 \sim 1.2$, > 1.2 为高位髌骨^[5]。同时观察髌骨形态及信号有无异常及周围有无伴发的膝关节病变等。

2 结果

本组 50 例 MRI 均诊断为高位髌骨(图 1),其 IS 指数为 $1.32 \sim 1.76$, 平均 (1.43 ± 0.3) 。髌软骨损伤参照文献^[6]分为 4 期: I 期: 髌软骨外形正常,软骨信号异常; II 期: 软骨不规则, T₂WI 上见虫蚀样不连续; III 期: 软骨表面欠规则,局部变薄,深层断裂; IV 期: 软骨缺损、溃疡伴软骨下骨侵蚀破损及囊变。结果 I 期 4 例(8.0%), II、III 期 31 例(62.0%), IV 期 15 例(30.0%)。伴发病变: 猎人帽样髌骨 4 例(8.0%), 股骨髌骨凹浅平 6 例(12.0%), 髌骨半脱位 5 例(10.0%), 髌腱炎 4 例(8.0%), 髌上囊积液 43 例(86.0%), 髌下深囊滑膜炎 31 例(62.0%); 股骨髌面骨软骨不同程度损伤 18 例(36.0%)。

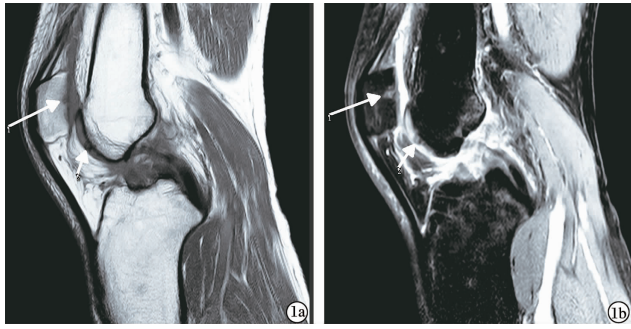
3 讨论

髌骨、胫骨之间的位置关系,可通过直接指标如

DOI: 10.13429/j.cnki.cjcr.2015.08.034

基金项目: 江苏省卫生厅医学科研立项课题(YG201419); 徐州市科技发展基金(XF10C060; XM13B085); 徐州市医学青年后备人才培养工程资助项目(2014019)

通讯作者: 丁长青, E-mail: dcqdcq123@163.com



注:1a:高位髌骨患者矢状位 T_1 WI;1b:矢状位 T_2 SPAIR;髌软骨退变累及软骨下骨质(箭1)及股骨髌骨低信号(箭2),同时伴髌上囊及髌下囊少许积液等。

图1 高位髌骨患者的MRI成像

髌骨滑车指数 (PTI) 来评价髌股骨之间关系,经典的 IS 指数、BP 指数及 CD 指数等也用来阐明髌骨关节紊乱,除 PTI 与其他 3 个指标相关性不强外,这 4 个指标可靠性和重复性均较好^[2]。对中国老年人高位髌骨 X 线测量参数的研究提示,所有指标均在国外报道的参数范围内,且两性间无统计学差异,提示关于高位髌骨 X 线测量的诸参数指标同样适用于中国老年人^[7]。成人与青少年的 IS 指数差异无统计学意义^[8]。但对于经常采取下跪姿势的印度人群来说,IS 指数正常范围稍不同,其正常参考范围为 0.7 ~ 1.5^[9]。最近,有学者提出一种新的基于常规膝关节 X 线摄影的诊断高位髌骨新方法,该方法可允许膝关节屈曲 $1.6^\circ \sim 79.1^\circ$,平均 $34.4^\circ \pm 16.6^\circ$,而此标准与前述其他指标有良好的一致性^[10]。Biedert 等^[11]提出一种 MRI 测量髌骨高度的方法,在膝关节伸直位时(膝关节屈曲 0° ,股四头肌完全放松),PTI 系通过髌股关节矢状面 MRI 图像测量髌骨软骨面最高点至最低点的连线 (BLP) 长度,经股骨滑车软骨面的最高点向最低点所作的 BLP 的平行线 (LT),经髌骨软骨面最低点向 LT 做垂线,LT 起点到垂线的这一段距离称为 BLT (baseline trochlea),BLT 与 BLP 之比值即 PTI,PTI < 12.5% 则为高位髌骨, > 50% 则为低位髌骨。相对 X 线平片,MRI 矢状位断层成像,无影像重叠,不受 X 线投照角度影响,对髌韧带显示清晰直观,测量 TL、PL 较为精确可靠^[12]。本组膝关节 MRI 诊断高位髌骨中也多有 X 线资料,也显示了较好的诊断一致性。

本组患者均以膝前痛就诊,均伴髌软骨不同程度软化(其中 IV 期高达 30%)。有研究运用 MRI 分析髌骨位置与髌骨软化症之间的关系,结果表明髌骨软化症的阳性率女性高于男性,随年龄增长阳性率增高,高位髌骨与髌骨软化症的发病有关^[13]。膝关节屈曲 $> 90^\circ$ 时,股四头肌肌腱在滑车中滑行时承受剪

压力,而在高位髌骨中,髌骨位于正常时股四头肌肌腱的位置,髌软骨承受相应的异常压力,易引起髌软骨软化症。相应的,髌韧带在胫骨结节附着处也需承受高位髌骨的较高张力,引起髌腱炎、腱鞘炎或腱下滑囊炎(本组伴髌下深囊滑囊炎比例高达 62.0%)等,胫骨结节钙化、骨化灶造成局部隆起,即 Osgood-Schlatter 骨突病。髌软骨磨损后,滑车关节活动时所受到的摩擦力增高,损伤股骨髌面骨软骨及骨质(本组 36.0%),最终引起髌股关节炎^[14]。

综上所述,对于可疑高位髌骨的患者,及时行 MRI 检查对早期诊断、准确评估髌软骨损伤及伴发的膝关节其他损伤具有重要价值。

参考文献

- [1] Koh JL, Stewart C. Patellar instability [J]. Clin Sports Med, 2014, 33 (3): 461 - 476.
- [2] 郭瑞鹏, 徐斌. 髌骨高度的测量及高位髌骨的研究进展 [J]. 中国组织工程研究, 2014, 18 (20): 3269 - 3274.
- [3] Charles MD, Haloman S, Chen L, et al. Magnetic resonance imaging-based topographical differences between control and recurrent patellofemoral instability patients [J]. Am J Sports Med, 2013, 41 (2): 374 - 384.
- [4] 丁长青, 许若峰, 谢光彤, 等. 低场 MRI: 设备基于大视野的快速扫描探讨 [J]. 中国医疗器械杂志, 2012, 36 (3): 225 - 226.
- [5] Schlenzka D, Schwesinger G. The height of the patella: an anatomical study [J]. Eur J Radiol, 1990, 11 (1): 19 - 21.
- [6] 张传凤, 黄建军, 李传富. 髌骨软骨软化的高场 MRI 诊断及应用 [J]. 中国 CT 和 MRI 杂志, 2010, 8 (4): 60 - 62.
- [7] 赵寅, 张伟. 正常中国老年人髌骨高度 X 线诊断参数 [J]. 正常中国老年人髌骨高度 X 线诊断参数 [J]. 中国老年学杂志, 2014, 34 (9): 2439 - 2441.
- [8] Kar MN, Bhakta A, Mondal GC, et al. Change of patellar height with age and sex [J]. J Indian Med Assoc, 2012, 110 (12): 922 - 925.
- [9] Upadhyay S, Raza HK, Srivastava P. Position of the patella in adults in central India; evaluation of the Insall-Salvati ratio [J]. J Orthop Surg (Hong Kong), 2013, 21 (1): 23 - 27.
- [10] Nizić D, Pervan M, Kovačević B. A new reference line in diagnosing a high-riding patella on routine digital lateral radiographs of the knee [J]. Skeletal Radiol, 2014, 43 (8): 1129 - 1137.
- [11] Biedert RM, Albrecht S. The patellotrochlear index: a new index for assessing patellar height [J]. Knee Surg Sports Traumatol Arthrosc, 2006, 14 (8): 707 - 712.
- [12] 赫崇安, 娄路馨, 过哲, 等. 髌骨与髌韧带长度比值的 MR 测量 [J]. 放射学实践, 2008, 23 (6): 670 - 672.
- [13] 陆薇, 陈爽, 杨军. 髌骨位置与髌骨软化症之间相关性的 MRI 研究 [J]. 中华放射学杂志, 2011, 45 (10): 955 - 959.
- [14] 傅晓东, 王伟力. 高位髌骨的影像学诊断 [J]. 中国组织工程研究, 2012, 16 (39): 7338 - 7344.